

Строительная механика инженерных конструкций и сооружений STRUCTURAL MECHANICS OF ENGINEERING CONSTRUCTIONS AND BUILDINGS

2025. 21(3). 242-253

ISSN 1815-5235 (Print), 2587-8700 (Online) HTTP://JOURNALS.RUDN.RU/STRUCTURAL-MECHANICS



DOI: 10.22363/1815-5235-2025-21-3-242-253

EDN: TMAURD

Научная статья / Research article

Деревянное покрытие-настил промышленного здания: расчет из условия изгибной жесткости

И.И. Шишов[©], А.В. Лукина^{®™}, М.С. Лисятников[®], Д.А. Чибрикин[®]

Владимирский государственный университет имени Александра Григорьевича и Николая Григорьевича Столетовых, Владимир, Российская Федерация

⊠ pismo.33@yandex.ru

Поступила в редакцию: 12 марта 2025 г.

Доработана: 17 мая 2025 г.

Принята к публикации: 30 мая 2025 г.

Аннотация. Большепролетные конструкции покрытия позволяют создавать просторные помещения без использования промежуточных опор, что важно для гибкой планировочной системы промышленных и общественных зданий. Как правило, такие конструкции выполняют из металлических или железобетонных ферм или арок. Объектом исследования является новая двускатная конструкция деревянного дощатого покрытия-настила для промышленного здания пролетами 24 и 30 м. Ширина настила без стропильных конструкций составляет 2,4 м. Соединение отдельных досок и элементов между собой в настиле предусматривается гвоздевыми и болтовыми, что выгодно отличает его от клеёных деревянных конструкций. Существует возможность сборки конструкции непосредственно на строительной площадке. Не требуется доставка крупномасштабного изделия до места монтажа. Представлен подробный анализ конструктивных решений, приведены методы расчета, в результате которых определено, что предложенная конструкция удовлетворяет условию изгибной жесткости. Описана простая в изготовлении и монтаже система, основанная на применении деревянных досок и панелей, которые обеспечивают необходимую общую устойчивость конструкции, что делает ее привлекательным вариантом для использования в различных климатических районах. Результаты исследований подтверждают высокую перспективность дальнейшего внедрения подобной технологии в реальную практику проектирования.

Ключевые слова: деревянные конструкции, покрытия, прочность, жесткость

Заявление о конфликте интересов. Авторы заявляют об отсутствии конфликта интересов.

Вклад авторов: Шишов И.И. — разработка конструктивного решения деревянной кровельной панели, постановка задачи исследования; Лукина А.В. — сбор нагрузок, выполнение расчета изгибной жесткости панели, написание текста; Лисятников М.С. — анализ современного состояния большепролетных конструкций на основе древесины, литературный обзор; *Чибрикин Д.А.*— оформление графического материала, формулировка выводов. Все авторы ознакомлены с окончательной версией статьи и одобрили ее.

Финансирование. Работа выполнена при финансовой поддержке Министерства науки и высшего образования Российской Федерации в рамках государственного задания в области научной деятельности (тема FZUN-2024-0004, государственное задание ВлГУ).

Для цитирования: Шишов И.И., Лукина А.В., Лисятников М.С., Чибрикин Д.А. Деревянное покрытие-настил промышленного здания: расчет из условия изгибной жесткости // Строительная механика инженерных конструкций и сооружений. 2025. T. 21. № 3. C. 242–253. http://doi.org/10.22363/1815-5235-2025-21-3-242-253

Шишов Иван Иванович, кандидат технических наук, доцент кафедры строительных конструкций, Владимирский государственный университет имени Александра Григорьевича и Николая Григорьевича Столетовых, Российская Федерация, 600000, г. Владимир, ул. Горького, д. 87; ORCID: 0009-0001-9621-7196; e-mail: ivshish1938@gmail.com

Лукина Анастасия Васильевна, кандидат технических наук, доцент кафедры строительных конструкций, Владимирский государственный университет имени Александра Григорьевича и Николая Григорьевича Столетовых, Российская Федерация, 600000, г. Владимир, ул. Горького, д. 87; eLIBRARY SPIN-код: 8745-0004, ORCID: 0000-0001-6065-678X; e-mail: pismo.33@yandex.ru

Лисятников Михаил Сергеевич, кандидат технических наук, доцент кафедры строительных конструкций, Владимирский государственный университет имени Александра Григорьевича и Николая Григорьевича Столетовых, Российская Федерация, 600000, г. Владимир, ул. Горького, д. 87; eLIBRARY SPIN-код: 4089-7216, ORCID: 0000-0002-5262-6609; e-mail: mlisyatnikov@mail.ru

Чибрикин Данила Александрович, кандидат технических наук, доцент кафедры строительных конструкций, Владимирский государственный университет имени Александра Григорьевича и Николая Григорьевича Столетовых, Российская Федерация, 600000, г. Владимир, ул. Горького, д. 87; eLIBRARY SPIN-код: 1809-6997, ORCID: 0000-0001-9278-4559; e-mail: dachibrikin@outlook.com

© Шишов И.И., Лукина А.В., Лисятников М.С., Чибрикин Д.А., 2025

This work is licensed under a Creative Commons Attribution-NonCommercial 4.0 International License https://creativecommons.org/licenses/by-nc/4.0/legalcode

Timber Roof Panel for Industrial Buildings: Analysis According to Bending Stiffness Condition

Ivan I. Shishov[®], Anastasia V. Lukina^{®™}, Mikhail S. Lisyatnikov[®], Danila A. Chibrikin[®]

Vladimir State University named after Alexander Grigoryevich and Nikolai Grigoryevich Stoletovs, *Vladimir, Russian Federation* pismo.33@yandex.ru

Received: March 12, 2025. Revised: May 17, 2025. Accepted: May 30, 2025

Abstract. Large-span roof structures allow creating spacious rooms without using intermediate supports, which is important for a flexible planning system of industrial and public buildings. Typically, such structures are made of metal or reinforced concrete trusses or arches. The object of the study is a new ridged structure of a wooden plank roof panel for industrial buildings with spans of 24 and 30 m. The width of the panel without rafter structures is 2.4 m. The connection of individual boards and elements with each other in the panel is provided by nails and bolts, which compares favorably with glued wooden structures. It is possible to assemble the structure directly on the construction site. There is no need to deliver a large-scale product to the installation site. The article provides a detailed analysis of design solutions, presents calculation methods, as a result of which it is determined that the proposed structure meets the condition of bending rigidity. A simple to manufacture and to install system is described, based on the use of wooden boards and panels, which provide the nec-essary overall stability of the structure, making it an attractive option for use in various climatic regions. The results of the studies confirm the high potential for further implementation of such technology in real design practice.

Keywords: wooden structures, roofs, strength, rigidity

Conflicts of interest. The authors declare that there is no conflict of interest.

Authors' contribution: *Shishov I.I.* — development of structural solution of the wooden roofing panel, formulation of research objective; *Lukina A.V.* — collecting loads, calculating the bending stiffness of the panel, writing the text; *Lisyatnikov M.S.* — analysis of the current state of large-span structures based on wood, literature review; *Chibrikin D.A.*— design of graphic material, formulation of conclusions. All authors read and approved the final version of the article.

Funding. The work was carried out with the financial support of the Ministry of Science and Higher Education of the Russian Federation within the state assignment in the field of scientific activity (theme FZUN-2024-0004, state assignment of the VISU).

For citation: Shishov I.I., Lukina A.V., Lisyatnikov M.S., Chibrikin D.A. Timber roof panel for industrial buildings: analysis according to bending stiffness condition. *Structural Mechanics of Engineering Constructions and Buildings*. 2025;21(3):242–253. (In Russ.) http://doi.org/10.22363/1815-5235-2025-21-3-242-253

1. Введение

Большепролетные конструкции становятся все более популярными благодаря своей экономической эффективности, архитектурной выразительности и технологическому развитию. Большепролетные конструкции находят широкое применение в различных сферах, включая строительство промышленных, зрелищных, культовых зданий, мостов, спортивных арен, аэропортов, торговых центров и других крупных объектов [1; 2]. В будущем они будут играть ключевую роль в создании современных и функциональных объектов, способствуя развитию инфраструктуры и улучшению качества жизни населения.

Ivan I. Shishov, Candidate of Technical Sciences, Associate Professor of the Department of Building Structures, Institute of Architecture, Civil Engineering and Energy, Vladimir State University named after Alexander and Nikolay Stoletovs, 87 Gorky St, Vladimir, 600000, Russian Federation; ORCID: 0009-0001-9621-7196; e-mail: ivshish1938@gmail.com

Anastasia V. Lukina, Candidate of Technical Sciences, Associate Professor of the Department of Building Structures, Institute of Architecture, Civil Engineering and Energy, Vladimir State University named after Alexander and Nikolay Stoletovs, 87 Gorky St, Vladimir, 600000, Russian Federation; eLIBRARY SPIN-code: 8745-0004; ORCID: 0000-0001-6065-678X; e-mail: pismo.33@yandex.ru

Mikhail S. Lisyatnikov, Candidate of Technical Sciences, Associate Professor of the Department of Building Structures, Institute of Architecture, Civil Engineering and Energy, Vladimir State University named after Alexander and Nikolay Stoletovs, 87 Gorky St, Vladimir, 600000, Russian Federation; eLIBRARY SPIN-code: 4089-7216, ORCID: 0000-0002-5262-6609; e-mail: mlisyatnikov@mail.ru

Danila A. Chibrikin, Candidate of Technical Sciences, Associate Professor of the Department of Building Structures, Institute of Architecture, Civil Engineering and Energy, Vladimir State University named after Alexander and Nikolay Stoletovs, 87 Gorky St, Vladimir, 600000, Russian Federation; eLIBRARY SPIN-code: 1809-6997, ORCID: 0000-0001-9278-4559; e-mail: dachibrikin@outlook.com

Когда речь идет о большепролетных перекрытиях, как правило, используют фермы, арки или пространственные конструкции [3; 4]. Широко распространены решения, выполненные из металлических и железобетонных конструкций [5–7].

Одним из перспективных направлений является использование деревянных стропильных конструкций для перекрытия больших пролетов. Деревянные конструкции обладают рядом преимуществ: экологичность, легкость, высокие теплоизоляционные свойства, эстетичность [8].

Элементы стропильной деревянной системы, как правило, выполняются на болтах, нагелях и реже на МЗП. Болтовые соединения обеспечивают прочность и устойчивость конструкции, а также позволяют легко монтировать и демонтировать элементы при необходимости [9]. Так, в [10; 11] предложены стропильные конструкции из бамбука, соединения которых выполнены на болтах.

Центральный научно-исследовательский институт строительных конструкций имени В.А. Кучеренко (ЦНИИСК им. Кучеренко), один из ведущих институтов строительной отрасли России, накопил значительный опыт проектирования большепролетных деревянных конструкций. Под руководством С.Б. Турковского и А.А. Погорельцева разработаны основные виды проектов большепролетных деревянных конструкций: арочные покрытия зданий, деревянные фермы и рамные конструкции, шпренгельные системы и клеёные балки, решетчатые деревянные фермы и комбинированные конструкции.

Огромный вклад в формирование и развитие школы деревянных конструкций в Сибирском регионе внес профессор П.А. Дмитриев (Сибстрин). П.А. Дмитриевым были экспериментально исследованы соединения элементов деревянных конструкций на металлических и пластиковых нагелях, разработаны положения по проектированию несущих и ограждающих деревянных конструкций.

Разработка новых полимеров, конструктивных решений и технологий обработки древесины способствует развитию деревокомпозитных конструкций. В практику проектирования все более интенсивно входят составные и деревоклеёные конструкции [12; 13].

Деревянные конструкции гигроскопичны. При набухании создаются внутренние напряжения, что может привести к деформациям, расслоению и снижению прочности конструкции. Деревокомпозитные конструкции лишены таких недостатков.

В [14–16] выполнены расчеты деревянных конструкций с учетом ползучести. Исследования подтверждают необходимость учета ползучести древесины и уточнения расчетов деревянных конструкций.

В [17; 18] предлагается инновационное предварительно нагруженное соединение дюбель — гайка для высокопроизводительных пространственных конструкций из клееного шпона (LVL). Такое соединение LVL элементов приводит к снижению собственного веса конструкции на 33 % при равной проектной несущей способности. Соединение дюбель — гайка, используемое для реализации прототипов, обеспечивает простоту операций по сборке/разборке. В [19] подробно обсуждаются клеёные деревянные элементы, которые используются в качестве несущих конструкций. Подчеркиваются преимущества металлических соединений, но также упоминаются проблемы, связанные с экологичностью синтетических клеев и соединителей.

Статья М.С. Сергеева [20] посвящена исследованию влажностного поведения и процессов высыхания кросс-ламинированной древесины (СLТ) в кровельных конструкциях. В работе представлен полевой эксперимент, проведенный в течение 11 месяцев на строительной площадке в Торонто (Канада), где анализировалась динамика распределения влаги в СLТ. Основное внимание уделено влиянию влаги на торцы панелей СLТ, так как древесина является гигроскопичным материалом, а ее торцы особенно уязвимы к водопоглощению.

Также в исследования [21; 22] рассмотрены вопросы армирования деревянных конструкций. Армирование — эффективный способ повышения несущей способности строительных конструкций, но требующий дополнительных ресурсов на разработку технологии изготовления композитных конструкции. Примером успешного применения деревянных покрытий для промышленных зданий являются спортивные комплексы, выставочные залы, общественные здания [23; 24]. Например, крытый стадион в городе Хельсинки, Финляндия, построен с использованием клеёных деревянных балок длиной до 30 м [25]. Эти объекты демонстрируют высокую прочность и эстетическую привлекательность деревянной конструкции.

Таки образом, актуальность исследования деревянного покрытия-настила промышленного здания обусловлена несколькими важными факторами. Во-первых, это экономическая эффективность. Использование древесины вместо металла или бетона может существенно снизить затраты на строительство. Легкий вес материала уменьшает расходы на транспортировку и монтаж, а также снижает нагрузку на фундамент. Во-вторых, низкая теплопроводность древесины позволяет создавать более энергоэффективные здания, снижая затраты на отопление и кондиционирование воздуха. В-третьих, это адаптация к местным условиям. В России и других странах с развитой лесной промышленностью использование местных ресурсов древесины может способствовать развитию экономики региона и созданию рабочих мест [26].

2. Методы

Рассмотрено деревянное покрытие-настил (панель) для промышленного здания с пролетами длиной 24 и 30 м без использования традиционных стропильных систем.

Покрытие-настил представляет собой ряд кровельных панелей размером 2.4×24 м, шарнирно опирающихся на подстропильные балки. Кровельная панель это два сплошных настила толщиной по 120 мм, разделенных между собой поперечными стенками сечением 60×340 мм, расположенными с шагом 2.4 м (рис. 1).

Сплошной настил толщиной 120 мм обеспечивает достаточную жесткость и прочность, чтобы выдерживать нагрузки от снега, ветра и собственного веса. Поперечные стенки сечением 60 × 340 мм, расположенные через каждые 2,4 м, дополнительно усиливают конструкцию, предотвращая прогибы и деформации. Шарнирное соединение на подстропильные балки позволяет компенсировать возможные температурные расширения и усадки материалов, что повышает общую стабильность конструкции [27].

Соединение отдельных досок и элементов между собой предусматривается по типу дощатогвоздевых балок. На этапе разработки модель исследуемого деревянного покрытия предполагается конструктивный забой гвоздей, а также крепление отдельных элементов болтовыми соединениями. Расчет узловых и стыковых соединений будет выполнен в дальнейшем при анализе внутренних усилий в каждом элементе отдельно.

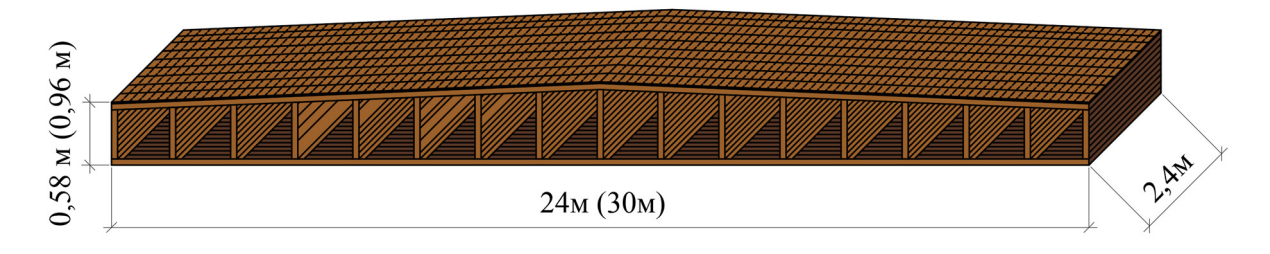


Рис. 1. Общий вид деревянного покрытия-настила промышленного здания И с т о ч н и к: выполнено Д.А. Чибрикиным

Figure 1. General view of the wooden panel for industrial buildings S o u r c e: made by D.A. Chibrikin

2.1. Покрытие здания с пролетом 24 м

Выполнен расчет предложенной деревянной конструкции. Расчетная схема представляет собой однопролетную шарнирно-опертую балку с шарнирным соединением стенок с верхним и нижним поясами, загруженную равномерно-распределенной нагрузкой по пролету. Определен момент инерции и изгибную жесткость покрытия.

Момент инерции поперечного сечения панели:

$$I_z = \frac{bh^3}{12} = \frac{2.4}{12} (0.58^3 - 0.34^3) = 0.0312 \,\mathrm{m}^3.$$

Изгибная жесткость: $EI_z = 12600 \cdot 0,0312 = 393 M \cdot N \text{ m}^2$.

Выполнен расчет по деформациям.

Нагрузки нормативные:

- 1. Продольные настилы: $P_1 = 0.24 \cdot 2.4 \cdot 510 = 294 \,\mathrm{kr/m}$;
- 2. Поперечные стенки: $P_2 = 0.06 \cdot 0.34 \cdot 2.4 \cdot 11 \cdot 510 = 259 \,\mathrm{kr/m}$;
- 3. Пароизоляция: $P_3 = 0.08 \cdot 2.4 = 0.192$ кг/м;
- 4. Полимерная мембрана: t = 1,5 мм; $P_4 = 1,8 \cdot 2,4 = 4,32$ кг/м;
- 5. Снеговая нагрузка: $P_5 = 200 \cdot 2, 4 = 480 \,\mathrm{kr/m};$

Итого нормативная нагрузка: $q = 1038 \,\mathrm{kr/M} = 0,0104 \,\mathrm{MH/m}$.

Прогиб в середине пролета: Max $f = \frac{5}{384} \cdot \frac{ql^4}{E} = \frac{5}{384} \cdot \frac{0,0104 \cdot 24^4}{393} = 0,114 \,\mathrm{m}$.

Предельно допустимый прогиб: $\frac{24}{200} = 0,120 \,\mathrm{m}$.

Таким образом, жесткость кровельной панели достаточна. Недостаток этого решения в том, что покрытие получается плоским. Чтобы создать уклон кровли от конька к карнизу, необходимо увеличить высоту поперечных стенок от карниза к коньку на 30 мм с каждым шагом поперечных стенок.

Нагрузка немного увеличится:

$$q = 0.0104 + 0.03 \cdot 0.06 \cdot 2.4 \cdot (2 + 4 + 6 + 8 + 10) \cdot 0.0051 = 0.011 \text{ MH/m}.$$

3. Результаты и обсуждение

Кровельная панель длиной 24 м разделяется поперечными стенками на 5 фрагментов, каждый из которых имеет две части по 2,4 м по разные стороны от конька. Каждый фрагмент имеет свою высоту и жесткость на изгиб EI_z . Высота фрагмента измеряется в его середине и считается постоянной. Принятые высоты фрагментов: h = 0,58; 0,61; 0,64; 0,67; 0,70 м. Моменты инерции кровельных панелей I_z :

$$I_z = \frac{bh^3}{12} = \frac{b}{12}(h^3 - h_1^3),$$

где h — высота фрагмента; h_1 — расстояние между верхним и нижним настилами кровельной панели. Моменты инерции и изгибные жесткости EI_z по фрагментам представлены в табл. 1.

Таблица 1 / Table 1

Определение изгибной жесткости кровельной панели / Determination of the bending stiffness of the roof panel

Номер фрагмента / Fragment number	Момент инерции кровельных панелей <i>Iz</i> , м ⁴ / Moment of inertia of <i>Iz</i> , m ⁴ roofing panels	Изгибные жесткости EIz, MH/м²/ Bending stiffness EIz, MN/m²			
Фрагмент 1 / Fragment 1	0,0312	393			
Фрагмент 2 / Fragment 2	0,0353	445			
Фрагмент 3 / Fragment 3	0,0396	499			
Фрагмент 4 / Fragment 4	0,0443	558			
Фрагмент 5 / Fragment 5	0,0491	619			

Источник: выполнено А.В. Лукиной / S o u r c e: made by A.V. Lukina

Далее определяются прогибы кровельной панели в середине пролета:

$$\operatorname{Max} f = \frac{5}{384} \cdot \frac{ql^4}{EI_z}.$$
 (1)

Нагрузка q = 0.011 МH/M по всему пролету. Модуль упругости древесины: $E = 12600 \text{MH/M}^2$.

Max
$$f = 0,000142 \frac{l^4}{EI_z}$$
.

Для каждого фрагмента кровельной панели выполняется следующее:

- 1. Часть кровельной панели, включающая фрагмент, рассматривается как балка длиной l_1 на шарнирных опорах. По формуле (1) определяется прогиб в середине пролета от нагрузки q.
- 2. Часть кровельной панели, за исключением фрагмента, рассматривается как балка длиной l_2 , и для нее определяется прогиб в середине. Разность прогибов дает прогиб кровельной панели в середине пролета от нагрузки, действующей в пределах фрагмента (табл. 2).

Таблица 2 / Table 2 Определение прогибов кровельной панели / Determining the deflections of the roof panel

Номер фрагмента / Fragment number	Пролет <i>l</i> , м / Span <i>l</i> , m	Прогиб f, м / Deflection, m
Фрагмент 1 / Fragment 1	24	0,0505
Фрагмент 2 / Fragment 2	21,6	0,0251
Фрагмент 3 / Fragment 3	19,2	0,016
Фрагмент 4 / Fragment 4	16,8	0,0112
Фрагмент 5 / Fragment 5	14,2	0,0

Источник: выполнено А.В. Лукиной / S o u r c e: made by A.V. Lukina

Прогиб кровельной панели в середине пролета равен сумме определенных прогибов.

 $\operatorname{Max} f = 0.0505 + 0.0251 + 0.016 + 0.0112 + 0.0129 = 0.116 \text{ m}.$

Предельно допустимый прогиб 0,120 м.

Жесткость кровельной панели достаточна

3.1. Покрытие здания с пролетом 30 м

Соберем нагрузки.

Продольные настилы толщиной $0,09 \cdot 2 = 0,18$ м. Тогда $P_1 = 0,18 \cdot 2,4 \cdot 510 = 220$ кг/м.

Поперечные стенки: $P_2 = 0.08 \cdot 2.4 \cdot \left(0.78 + 0.81 + 0.84 + 0.87 + 0.90\right) \cdot 510 \cdot 2 = 823 \,\mathrm{kg/m}$.

Нагрузка от пароизоляции и полимерной мембраны: $P_3 = 4,32 \text{ кг/м}$.

Снеговая нагрузка: $200 \cdot 2, 4 = 480 \, \text{кг/м}$.

Итого (нормативные нагрузки): q = 1527,32 кг/м = 0,0153 МН/м.

Прогиб кровельной панели в середине пролета составит:

Max
$$f = \frac{5}{384} \frac{ql^4}{EI_z} = 0,000198 \frac{l^4}{EI_z}$$
.

Моменты инерции и жесткости кровельной панели по фрагментам от карниза к коньку (табл. 3). Далее вычисляются прогибы в середине кровельной панели от раздельного загружения ее по фрагментам, как это описано выше. Принимается: l_1 — длина участка панели, включающего фрагмент, l_2 — длина участка с исключенным фрагментом. Прогибы определяются по формуле

Max
$$f = \frac{5}{384} \cdot \frac{ql^4}{EI_z} = 0,000198 \cdot \frac{l^4}{EI_z}$$
.

Разность прогибов определяет прогиб кровельной панели f в середине пролета от загружения фрагмента: $f = \operatorname{Max} f_1 - \operatorname{Max} f$.

 Таблица 3 / Table 3

 Результаты расчета покрытие здания пролетом 30 м /

 Calculation results for covering a building with a span of 30 m

Номер фрагмента / Fragment number	Момент инерции кровельных панелей I_x , m^4 / Moment of inertia of roof panels I_x , m^4	Изгибная жесткость EI _x , MH/м² / Bending stiffness EI _x , MN/m²	Прогиб f, м / Deflection, m	
Фрагмент 1 / Fragment 1	0,0820	1033	0,0914	
Фрагмент 2 / Fragment 2	0,0878	1106	0,0406	
Фрагмент 3 / Fragment 3	0,0937	1257	0,0141	
Фрагмент 4 / Fragment 4	0,0998	1257	0,000123	
Фрагмент 5 / Fragment 5	0,106	1336	0,000192	

И с т о ч н и к: выполнено A.B. Лукиной / S о u r с е: made by A.V. Lukina

Прогиб кровельной панели в середине пролета равен сумме прогибов от загружения фрагментов $\max f = 0,146$ м при предельно допустимом значении 0,150 м. Жесткость кровельной панели достаточна.

Результаты выполненного расчета показывают, что наибольший прогиб кровельной панели возникает от нагружения первого (прикарнизного) фрагмента, а с приближением загруженного фрагмента к коньку его влияние на прогиб в середине пролета быстро уменьшается. Это можно использовать. Жесткость панели в направлении от карниза к коньку будем уменьшать, уменьшая толщину настилов.

Каждый скат будет иметь три зоны протяженностью по 5 м с суммарной толщиной верхнего и нижнего настилов от карниза к коньку 20, 18, 12 см. Каждая зона разделена поперечными стенками на два фрагмента по 2,5 м. Высота стенок в пределах ската 0,750; 0,775; 0,800; 0,825; 0,850; 0,875, высота средней стенки 0,900 м.

3.2. Определение нагрузок

- 1. Настилы: $(0,20\cdot 5+0,18\cdot 5+0,12\cdot 5)\cdot 2\cdot 2,4\cdot 510=6120$ кг. Тогда нагрузка на 1 м кровельной панели составит: q=204 кг/м.
 - 2. Стенки по скатам, поперечные сечения: $(0,750+0,775+0,80+0,825+0,875)\cdot 0,08\cdot 2=0,78$.
 - 3. Средняя стенка $9 \cdot 0.15 = 0.135 \text{ м}^2$.

Beefo $0.78 + 0.135 = 0.915 \text{ m}^2$

Вес всех стенок на ширину кровельной панели — 2,4 м.

$$G = 0.915 \cdot 2.4 \cdot 510 = 1120 \text{ K}\text{T}.$$

Тогда нагрузка 1 м кровельной панели $q = \frac{1120}{30} = 37,333 \,\mathrm{kг/m}.$

Вместе с настилами $q = 204 + 37,333 = 24,333 \,\mathrm{kr/m} = 0,00241 \,\mathrm{MH/m}.$

Пароизоляция и полимерная мембрана g = 4 кг/м = 0,00004 MH/m.

Снег
$$G = 480 \cdot 2, 4 = 1152 \text{ кг/м} = 0,0115 \text{ МH/м}.$$

Итого q = 0.00241 + 0.00004 + 0.0115 = 0.0140 МН/м.

Наибольший прогиб кровельной панели в середине пролета:

$$\operatorname{Max} f = \frac{5ql^4}{384EI} = 0,000182 \frac{l^4}{EI}.$$

Момент инерции кровельной панели

$$I_z = \frac{bh^3}{12} = \frac{2.4}{12} (h^3 - h_1^3) = 0.2 (h^3 - h_1^3),$$

где h — высота фрагмента панели, включающая настилы; h_1 — без настилов.

Получаются следующие значения для фрагментов от карниза к коньку:

$$h = 0,20+0,75=0,95, h_1 = 0,750;$$

$$h = 0,20 + 0,775 = 0,975, h_1 = 0,775;$$

$$h = 0.18 + 0.80 = 0.98$$
, $h_1 = 0.800$;

$$h = 0.18 + 0.825 = 1.005$$
, $h_1 = 0.825$;

$$h = 0.12 + 0.850 = 0.970$$
, $h_1 = 0.970$;

$$h = 0.12 + 0.875 = 0.995$$
, $h_1 = 0.875$.

Моменты инерции и жесткости кровельной панели для фрагментов от карниза к коньку:

$$I_z = 0.2(0.95^3 - 0.75^3) = 0.0871$$
, $EI_z = 1010$;

$$I_z = 0.2(0.975^3 - 0.775^3) = 0.0923$$
, $EI_z = 1160$;

$$I_z = 0.2(0.98^3 - 0.8^3) = 0.0858$$
, $EI_z = 1080$;

$$I_z = 0.2(1,005^3 - 0.825^3) = 0.09007$$
, $EI_z = 1140$;
 $I_z = 0.2(0.97^3 - 0.85^3) = 0.0597$, $EI_z = 752$;
 $I_z = 0.2(0.995^3 - 0.875^3) = 0.0630$, $EI_z = 794$.

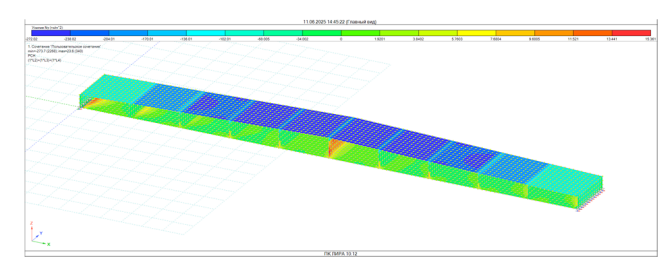
Максимальный прогиб кровельной панели в середине пролета определяется как сумма прогибов от раздельного загружения ее фрагментов. Для каждого фрагмента определяется 2 прогиба: f_1 — от загружения панели длиной l_1 , включающей фрагмент, и f_2 — от загружения панели длиной l_2 — без фрагмента. Разность прогибов определяет прогиб в середине пролета от нагружения фрагмента. Сумма таких разностей определяет прогиб кровельной панели переменной жесткости в середине пролета.

Фрагмент 1: / Fragment 1:

<i>l</i> 1, м /m	<i>l</i> ₂ , м/т	<i>l</i> 1, м/т	<i>l</i> ₂ , м/т	<i>l</i> 1, м/т	<i>l</i> ₂ , м/т	<i>l</i> 1, м/т	<i>l</i> ₂ , м/т	<i>l</i> 1, м/т	<i>l</i> ₂ , м/т	<i>l</i> 1, м/т	<i>l</i> ₂ , м/т
30	25	25	20	20	15	15	10	10	5	5	0
$f_1 = 0,146$	$f_2 = 0,0704$	$f_1 = 0,0613$	$f_2 = 0,0251$	$f_1 = 0.0270$	£ = 0,00853	$f_{\rm i} = 0.00808$	$f_2 = 0,00160$	$f_1 = 0,00242$	$f_2 = 0,00015$	$f_l = 0,000151$	$f_2 = 0$

Сумма величин $(f_1 - f_2)$ определяет прогиб кровельной панели в середине пролета f = 0,139 м. Предельно допустимый прогиб 0,150 м. Жесткость кровельной панели достаточна.

Инженерный расчет дает лишь ориентировочную оценку несущей способности конструкции, однако требуется дополнительное моделирование всех факторов, влияющих на работу сооружения, включая сложное распределение внутренних усилий, учет узлового сопряжения и возможные концентрации напряжений. Численный расчет проведен в расчетном программном комплексе ПК Lira. Сложное напряженно-деформированное состояние деревянного покрытия-настила пролетом 24,0 м отражено в виде мозаик усилий, напряжений и перемещений на рис. 2–5.



 Puc. 2 Мозаика нормальных напряжений, Ny

 Источник: выполнено Д.А. Чибрикиным

 Figure 2. Mosaic of normal stresses, Ny

 Source: made by D.A. Chibrikin

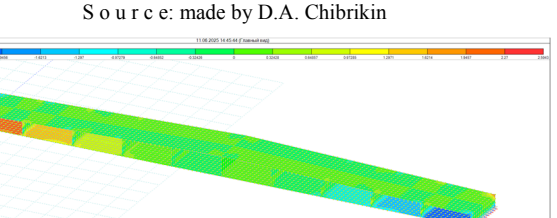


 Рис. 4. Мозаика поперечных усилий, Qx

 Источник: выполнено Д.А. Чибрикиным

 Figure 4. Mosaic of transverse forces, Qx

 Source: made by D.A. Chibrikin

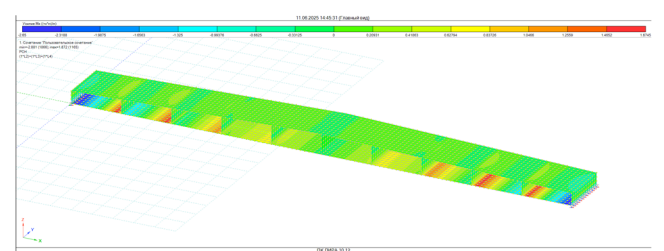


Рис. 3. Мозаика изгибающих моментов, *Mx* Источник: выполнено Д.А. Чибрикиным **Figure 3.** Mosaic of bending moments, *Mx* Source: made by D.A. Chibrikin

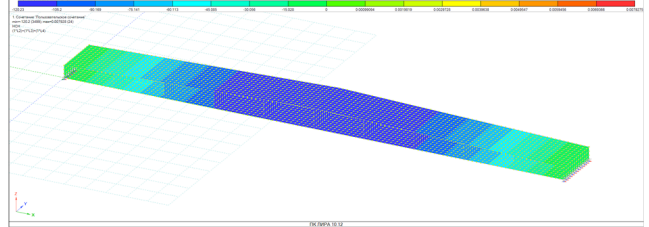


 Рис. 5. Мозаика вертикальных перемещений, z

 Источник: выполнено Д.А. Чибрикиным

 Figure 5. Mosaic of vertical movements, z

 Source: made by D.A. Chibrikin

Анализируя полученные результаты, можно сделать вывод о хорошей сходимости численного расчета и инженерного метода расчета. Разница при расчете по 2-й группе предельных состояний перемещения составила 13 %.

4. Заключение

Представленные результаты исследования показали следующее:

- деревянное покрытие-настил представляет собой эффективное решение для промышленных зданий с пролетами 24 и 30 м;
- разработанное деревянное покрытие обеспечивает теплоизоляцию, что особенно важно для промышленных зданий, где требуется поддержание стабильной температуры внутри помещения;
- поперечные стенки создают дополнительные воздушные камеры, которые действуют как теплоизоляторы, уменьшая теплопотери через крышу. Это поможет сократить затраты на отопление зимой и охлаждение летом.

Следует отметить следующее:

- 1. Деревянное перекрытие просто в изготовлении. Шарнирное крепление панелей на подстропильные балки упрощает процесс сборки крыши, сокращая время и трудозатраты на установку. Использование стандартных размеров панелей (2,4 × 24 м) позволяет оптимизировать производство и минимизировать отходы материалов.
- 2. Правильно обработанная древесина устойчива к влаге, гниению и насекомым-вредителям, что продлевает срок службы конструкции. При необходимости, в случае повреждения, отдельные элементы кровли можно легко заменить, не затрагивая всю систему покрытия.

Применение современных технологий и инженерных решений позволяет создать надежную и долговечную конструкцию, которая соответствует всем требованиям безопасности и функциональности. Предлагаемая конструкция применима не только для промышленных, но в подходящих случаях и для гражданских зданий.

Список литературы / References

- 1. Cucuzza R., Aloisio A., Rad M.M., Domaneschi M. Constructability-based design approach for steel structures: From truss beams to real-world inspired industrial buildings. *Automation in Construction*. 2024;166:105630. https://doi.org/10.1016/j.autcon.2024.105630 EDN: OMRKJT
- 2. Gusevs J., Serdjuks D., Artebjakina G.I., Afanasjeva E.A., Goremikins V. Behaviour of load-carrying members of velodromes' long-span steel roof. *Magazine of Civil Engineering*. 2016;5(65):3–16. https://doi.org/10.5862/MCE.65.1 EDN: XBDQSX
- 3. Shishov I.I., Lisyatnikov M.S., Roschina S.I., Lukina A.V. Covering a single-storey industrial building with wide box-shaped beams of stepwise-varying height. *Bulletin of South Ural state university. Series: Construction engineering and architecture.* 2021;21(1):22–29. (In Russ.) https://doi.org/10.14529/build210103 EDN: PGWZAD
- Шишов И.И., Лисятников М.С., Рощина С.И., Лукина А.В. Покрытие одноэтажного промышленного здания широкими балками коробчатого поперечного сечения ступенчато переменной высоты // Вестник Южно-Уральского государственного университета. Серия: Строительство и архитектура. 2021. Т. 21. № 1. С. 22–29. https://doi.org/10.14529/build210103 EDN: PGWZAD
- 4. Dirrenbergera J., Lapougeb P., Azulayb R., Eversb P., Vroemenb T. Adaptive Spatial Lattice Manufacturing (ASLM): A novel approach to efficient lattice structure production. *Materials & Design.* 2025;249:113553. https://doi.org/10.1016/j.matdes.2024.113553 EDN: HTUERZ
- 5. Pereiro X., M., Borja Conde B., Riveiro B. BIM methodology for cost analysis, sustainability, and management of steel structures with reconfigurable joints for industrial structures. *Journal of Building Engineering*. 2023;77:107443. https://doi.org/10.1016/j.jobe.2023.107443 EDN: DHYGGR
- 6. Turkovskiy S.B., Pogoreltsev A.A., Stoyanov V.O. Experience in the operation of large-span laminated timber structures with TSNIISK system nodes. *Structural mechanics and analysis of constructions*. 2022;6(305):61–68. (In Russ.) https://doi.org/10.37538/0039-2383.2022.6.61.68 EDN: EEXUNC

- Турковский С.Б., Погорельцев А.А., Стоянов В.О. Опыт эксплуатации большепролетных клееных деревянных конструкций с узлами системы ЦНИИСК // Строительная механика и расчет сооружений. 2022. № 6 (305). С. 61–68. https://doi.org/10.37538/0039-2383.2022.6.61.68 EDN: EEXUNC
- 7. Lisyatnikov M.S., Roshchina S.I., Prusov E.S., Deev V.B. Enhancing the efficiency of using deformable aluminum alloys in composite constructions. *Non-ferrous Metals*. 2024;57(2):24–30. 10.17580/nfm.2024.02.04 EDN: VNBVFF
- 8. Aloisio A., Sejkot P., Pelliciari M., Ormarsson S., Vessby J., Fragiacomo M. Instability of compressed members in timber trusses assembled with punched metal plates. *Engineering Structures*. 2025;329:119775. https://doi.org/10.1016/j.engstruct.2025.119775 EDN: UDSNKT
- 9. Nasir V., Ayanleye S., Kazemirad S., Sassani F., Adamopoulos S. Acoustic emission monitoring of wood materials and timber structures: A critical review. *Construction and Building Materials*. 2022;350:128877. https://doi.org/10.1016/j.conbuildmat.2022.128877 EDN: YGPYTM
- 10. Luo C., Yang J., Xin J., Fan Y., Zhou Y., Tang Q. Large-scale model test on the construction process of a stiff skeleton arch bridge with the span of 600 m. *Case Studies in Construction Materials*. 2024;21: e03783. https://doi.org/10.1016/j.cscm.2024.e03783
- 11. Shi D., Marano G.C., Demartino C. Modeling of glubam roof truss, parameter identification and updating based on parallel genetic algorithm. *Engineering Structures*.2024;316:118520. https://doi.org/ 10.1016/J.ENGSTRUCT.2024.118520 EDN: VFSJOP
- 12. Zheng Y., Zhou C. Lateral performance of circular wooden columns reinforced with high-performance bamboo-based composite. *Engineering Structures*. 2025;322:119062. https://doi.org/10.1016/J.ENGSTRUCT.2024.119062 EDN: OSNGCN
- 13. Popov E.V., Sopilov V.V. Labudin B.V. Zemcovskii A.E., Tochilova E.S. Calculation of composite bending wooden elements by deformations considering the nonlinear work of shear bonds. *Structural mechanics and analysis of constructions*. 2022;4(303):36–42. (In Russ.) https://doi.org/10.37538/0039-2383.2022.4.36.42 EDN: WSRYUO
- Попов Е.В., Сопилов В.В., Лабудин Б.В., Земцовский А.Е., Точилова Е.С. Расчет составных изгибаемых деревянных элементов по деформациям с учетом нелинейной работы связей сдвига // Строительная механика и расчет сооружений. 2022. № 4 (303). С. 36–42. https://doi.org/10.37538/0039-2383.2022.4.36.42 EDN: WSRYUO
- 14. Inzhutov I.S., Mezentsev V.V., Rozhkov A.F., Khovansky M.E. The calculation of wooden constructions taking into account the creep of wood on the example of a statically indeterminate lenticular blocked truss. *Herald of Daghestan state technical university. Technical sciences.* 2017;44(3):156–164. (In Russ.) https://doi.org/10.21822/2073-6185-2017-44-3-156-164 EDN: ZWDGFN
- *Инжутов И.С., Мезенцев В.В., Рожков А.Ф., Хованский М.Е.* Напряженно-деформированное состояние шпренгельной подкрановой балки // Вестник Дагестанского государственного технического университета. Технические науки. 2017. Т. 44. № 3. С. 156–164. https://doi.org/10.21822/2073-6185-2017-44-3-156-164 EDN: ZWDGFN
- 15. Lisitsky I.I., Zhadanov V.I., Rudnev I.V. Wooden trusses with nodal joints on glued flat rods. *Industrial and civil engineering*. 2020;(4):9–15. (In Russ.) https://doi.org/10.33622/0869-7019.2020.04.09-15 EDN: FVYINC
- *Лисицкий И.И., Жаданов В.И., Руднев И.В.* Деревянные фермы с узловыми соединениями на вклеенных плоских стержнях // Промышленное и гражданское строительство. 2020. № 4. С. 9–15. https://doi.org/10.33622/0869-7019.2020.04.09-15 EDN: FVYINC
- 16. Mihajlov V.V., Roshchina S.I., Shokhin P.B. Experimental determination of creep up wood. *Scientific and technical Volga region bulletin*. 2011;(5):219–221. (In Russ.) EDN: OKGEIR
- *Михайлов В.В., Рощина С.И., Шохин П.Б.* Экспериментальное определение меры ползучести древесины // Научно-технический вестник Поволжья. 2011. № 5. С. 219–221. EDN: OKGEIR
- 17. Fabbri A., Minghini F. Timber spatial trusses using laminated veneer lumber. *Journal of Building Engineering*. 2025;100:111696. https://doi.org/10.1016/j.jobe.2024.111696 EDN: RILZMC
- 18. Mehra S., O'Ceallaigh C., Sotayo A., Guan Z., Harte A.M. Structural characterisation of laterally loaded glued and compressed wood dowel laminated timber portal frames produced using compressed wood connectors. *Construction and Building Materials*. 2024;457:139107. https://doi.org/10.1016/j.conbuildmat.2024.139107 EDN: VFZHHX
- 19. Johns D., Richman R. Dry-out behaviour of cross-laminated timber (CLT) edge conditions in roof assemblies: A field study. *Structures*. 2025;72:108210. https://doi.org/10.1016/j.istruc.2025.108210
- 20. Sergeev M.S., Lukina A.V., Gribanov A.S., Strekalkin A.A. Development studies derivatising beams with symmetrical reinforcement. *Bulletin of BSTU named after V.G. Shukhov*. 2016;7:46–49. (In Russ.) EDN: WBVYTR
- Сергеев М.С., Лукина А.В., Грибанов А С., Стрекалкин А.А. Развитие исследования деревокомпозитных балок с симметричным армированием // Вестник Белгородского государственного технологического университета им. В.Г. Шухова. 2016. № 7. С. 46–49. EDN: WBVYTR
- 21. Kumar V., Ricco M. Lo, Bergman R.D., Nepal P., Poudyal N.C. Data and bills of materials for buildings designed for mass timber, structural steel, and reinforced concrete based on the 2021 international building code provisions. *Data in Brief.* 2024;55:110641. https://doi.org/10.1016/J.DIB.2024.110641 EDN: OMRPXK

- 22. Repin V.A., Lukina A.V., Strekalkin A.A. Parameterization of Maxwell Cremona diagram for determining forces in elements of a scissors truss // Structural Mechanics of Engineering Constructions and Buildings. 2024;20(2):97–108. http://doi.org/10.22363/1815-5235-2024-20-2-97-108 EDN: KZTKLX
- 23. Kolesnikova T.N., Kuznetsov P.E. Analysis of the architecture of modern multifunctional cultural and entertainment complexes and their development trends. *Vestnik MGSU [Monthly Journal on Construction and Architecture]*. 2023;18(3):346–357. (In Russ.) http://doi.org/10.22227/1997-0935.2023.3.346-357 EDN: MURSIM

Колесникова Т.Н., Кузнецов П.Э. Анализ архитектуры современных многофункциональных культурнозрелищных комплексов и тенденции их развития // Вестник МГСУ. 2023. Т. 18. № 3. С. 346–357. http://doi.org/10.22227/ 1997-0935.2023.3.346-357 EDN: MURSIM

- 24. Onegin V.I., Chubinsky A.N. Russian wood processing industry: problems and prospects of development. *Proceedings of the St. Petersburg Forestry Academy*. 2002;(168):10–15. (In Russ.) EDN: HYWHTF
- Онегин В.И., Чубинский А.Н. Деревообрабатывающая промышленность России: проблемы и перспективы развития // Известия Санкт-Петербургской лесотехнической академии. 2002. № 168. С. 10–15. EDN: HYWHTF
- 25. Lukin M.V., Chibrikin D.A., Roshchina S.I. Numerical studies of modified composite beams taking into account the physical nonlinearity of wood. *News of higher educational institutions. Construction.* 2023;5(773):5–19. (In Russ.) http://doi.org/10.32683/0536-1052-2023-773-5-5-19 EDN: OWKAIK
- *Лукин М.В., Чибрикин Д.А., Рощина С.И.* Численные исследования модифицированных композитных балок с учетом физической нелинейности древесины // Известия высших учебных заведений. Строительство. 2023. № 5 (773). С. 5–19. http://doi.org/10.32683/0536-1052-2023-773-5-5-19 EDN: OWKAIK
- 26. Lukin M.V., Roshchina S.I., Lukina A.V., Rimshin V.I. Computer modeling of energy-efficient joints of wood composite panels. *International Journal for Computational Civil and Structural Engineering*. 2024;20(1):68–80. http://doi.org/10.22337/2587-9618-2024-20-1-68-80 EDN: LSRINA